

01;06;07

## О ФОРМИРОВАНИИ СОЛИТОНОВ КУБИЧЕСКОГО УРАВНЕНИЯ ШРЕДИНГЕРА

© А.С.Шербаков, Е.И.Андреева

Вопрос о формировании солитонных импульсов в системах, описываемых кубическим уравнением Шредингера, представляет несомненный самостоятельный интерес [1], а также весьма важен с точки зрения приложений, например в нелинейной оптике сверхкоротких импульсов [2]. В общем случае, если параметры входного импульса не соответствуют точному  $N$ -солитонному решению кубического уравнения Шредингера, эволюция импульса может быть описана только численными методами. Однако, когда лишь амплитуда  $A_0$  входного солитонообразующего импульса

$$q(t, z = 0) = A_0 \operatorname{sech}(t/\tau_0) \quad (1)$$

с заданной длительностью  $\tau_0$  не равна амплитуде  $Na_0$  солитона  $N$ -го порядка (где  $N$  — целое,  $a_0$  — амплитуда фундаментального солитона длительности  $\tau_0$ ), определенные закономерности его эволюции удастся установить на основании аналитического исследования методом обратной задачи рассеяния [3]. Известно [4], что если исходное значение амплитуды  $A_0 = (N + \alpha)a_0$  при  $|\alpha| < 1/2$ , то такой импульс на расстоянии в несколько периодов солитона  $Z_{sp}$  асимптотически преобразуется в солитон того же порядка  $N$ , с амплитудой и длительностью, отличными от исходных значений  $A_0$  и  $\tau_0$ . Целью данной работы является уточнение условий формирования из импульсов вида (1) солитонов кубического уравнения Шредингера различных порядков и экспериментальная идентификация границ областей существования таких солитонов методами нелинейной оптики.

Солитоны высших порядков претерпевают сложную эволюцию формы импульса, в определенные моменты периодически повторяя сглаженное состояние с огибающей в виде гиперболического секанса. В эти моменты максимальная амплитуда импульса принимает минимальное значение  $A_s$ , а период повторения сглаженных состояний равен периоду солитона  $Z_{sp}$ , определяемому длительностью импульса  $\tau_s$  в таком состоянии. Оценить величины  $A_s$  и  $\tau_s$  можно используя асимптотику решения кубического уравнения Шредингера при большой длине распространения. С одной стороны, нормированная величина энергии, сосредоточенной в

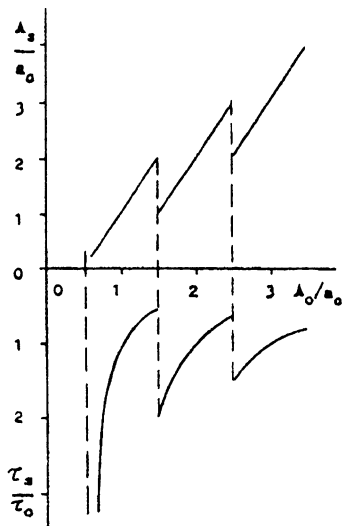


Рис. 1. Зависимость нормированной амплитуды  $A_s/a_0$  и длительности  $\tau_s/\tau_0$  солитонов кубического уравнения Шредингера в сглаженном состоянии от начальной амплитуды импульса  $A_0/a_0$  при постоянном значении  $\tau_0$ .

сформированном солитоне  $N$ -го порядка, равна [4]

$$E = N(N + 2\alpha). \quad (2)$$

Эта величина является интегралом движения, который может быть выражен через размерные параметры импульса в сглаженном состоянии

$$E = \frac{1}{E_0\tau_0} \int_{-\infty}^{\infty} |q|^2 dt - \frac{2}{E_0} A_s^2 \tau_s, \quad (3)$$

где  $E_0 = 2a_0^2\tau_0$  — энергия фундаментального солитона.

С другой стороны, солитоны кубического уравнения Шредингера порядка  $N$  в сглаженном состоянии удовлетворяют условию

$$A_s \tau_s = N a_0 \tau_0. \quad (4)$$

Откуда, сопоставляя (2), (3) и (4), получаем

$$A_s = (N + 2\alpha)a_0; \quad \tau_s = N(N + 2\alpha)^{-1}\tau_0. \quad (5)$$

То есть амплитуда и длительность солитона в сглаженном состоянии зависят от величины и знака отклонения  $\alpha a_0$  начальной амплитуды  $A_0$  от ближайшего целочисленного значения амплитуды солитона (рис. 1). При

$\alpha < 0$  солитон  $N$ -го порядка в сглаженном состоянии имеет  $A_s < A_0$  и  $\tau_s > \tau_0$ , а при  $\alpha > 0$  возникает противоположная ситуация. При этом, естественно, выполняется известное [4] условие формирования солитона  $N$ -го порядка из  $\text{sech}$ -образного импульса подходящей длительности, если  $(A_0/a_0) \in (N - 1/2, N + 1/2)$ . В то же время соотношения (5) предполагают скачок параметров солитона при переходе от  $N$ -го к  $(N+1)$ -му порядку, что может быть использовано в эксперименте как критерий перехода границы существования солитона данного порядка. Указанные скачки в зависимостях  $\frac{\tau_s}{\tau_0} \left[ \frac{A_0}{a_0} \right]$  и  $\frac{A_s}{a_0} \left[ \frac{A_0}{a_0} \right]$  начинают наблюдаться на длинах распространения порядка нескольких  $Z_{sp}$ . Наиболее наглядно этот эффект проявляется и, по-видимому, наиболее просто может быть экспериментально зарегистрирован при переходе от  $N = 1$  к  $N = 2$ , тогда как идентификация границ существования солитонов более высоких порядков сопряжена с необходимостью экспериментального выявления стадии сглаженного состояния в процессе пространственной эволюции солитонного импульса.

В системах с потерями, характеризруемыми декрементом затухания  $\gamma$ , обычно выделяют случай адиабатического распространения солитонов, определяемый условием

$$\Gamma = (2/\pi)Z_{sp}\gamma \ll 1.$$

В этом случае учет влияния потерь на эволюцию фундаментальных солитонов может быть осуществлен по теории возмущений [5] и приводит к следующей координатной зависимости его параметров:

$$a_a = a_0 \exp(-2\gamma z), \quad \tau_a = \tau_0 \exp(2\gamma z).$$

Тогда соотношения (2)–(5), допускающие перенормировку на величины  $a_a$  и  $\tau_a$ , остаются без изменений, так что указанный критерий перехода границы существования солитонов различных порядков по-прежнему применим. При этом в формулах (3)–(5) достаточно заменить  $a_0$  и  $\tau_0$  на  $a_a$  и  $\tau_a$ .

Для экспериментальной идентификации границы между областями существования солитонов кубического уравнения Шредингера с  $N = 1$  и  $N = 2$  могут быть использованы пикосекундные оптические импульсы в волоконном световоде. Как показывают результаты численного моделирования [4], процесс формирования фундаментальных солитонов в идеальном световоде без потерь из спектральноограниченных импульсов с неединичной амплитудой на начальном этапе распространения сопровождается осцилляциями длительности импульса в пределах 30% от исходного

значения. В волокне с потерями формирование солитонов с *sech*-образной огибающей носит ускоренный и сглаженный характер [6,7], что дает возможность наблюдать этот процесс в световоде, длина которого не превышает нескольких  $Z_{sp}$ . При этом, как видно из рис. 1, переход от  $N = 1$  к  $N = 2$  сопровождается изменением длительности импульса в 4 раза, что позволяет рассчитывать на идентификацию перехода к солитону второго порядка на указанных длинах распространения.

Для эксперимента был использован одномодовый кварцевый световод с дисперсией  $k'' = -2 \text{ пс}^2/\text{км}$  на рабочей длине волны  $\lambda = 1.32 \text{ мкм}$ . Величина  $\Delta\lambda = \lambda - \lambda_0 = 32 \text{ нм}$ , где  $\lambda_0$  — точка нулевой дисперсии второго порядка, удовлетворяла требованиям корректности экспериментов с оптическими солитонами вблизи точки  $\lambda_0$  [8]. Источником солитонообразующих импульсов служил полупроводниковый лазер в режиме активной синхронизации мод внешнего волоконного резонатора [9], выходные сигналы которого на  $\lambda = 1.32 \text{ мкм}$  близки к спектрально-ограниченным с произведением длительности на ширину спектра 0.45. Оценка временных параметров импульсов производилась интерференционным автокорреляционным методом [10], при котором точность измерений длительности импульсов ограничивалась наличием собственной солитонам неединичной амплитуды частотной модуляции [11] и дисперсионных крыльев, проявляющихся как пьедестал при корреляционных измерениях, так что максимальная погрешность измерений временных параметров импульсов не превышала 20%.

При начальной длительности импульсов по уровню половинной интенсивности  $t_0 = 3.1 \text{ пс}$  ( $\tau_0 = 1.8 \text{ пс}$ ) в волокне с потерями 0.4 дБ/км выполнялось условие формирования [12] и адиабатического распространения солитонов, причем на всей длине распространения 5.1 км, равной  $2Z_{sp}$ , величина параметра  $\Gamma$  не превышала 0.3. Значение амплитуды фундаментального солитона  $a_0 = (k''/\sigma)^{1/2} \tau_0^{-1}$  (где  $\sigma = 2.7 \text{ Вт}^{-1} \cdot \text{км}^{-1}$  — нелинейный коэффициент Керра использованного световода), составило  $0.5 \text{ Вт}^{-1/2}$ . На рис. 2 представлена зависимость длительности импульса  $t_{out}$  на выходе световода от величины начальной оптической мощности импульса  $P$ . Цифрами отмечены характерные точки зависимости  $t_{out}(P)$ , для которых представлены осциллограммы автокорреляционных функций. Области  $P < 300 \text{ мВт}$  соответствует практически линейный режим распространения импульсов, для которого расчетная величина  $t_{out} = 10 \text{ пс}$  соответствует результатам эксперимента. При  $P > 300 \text{ мВт}$  нелинейные эффекты оказывают

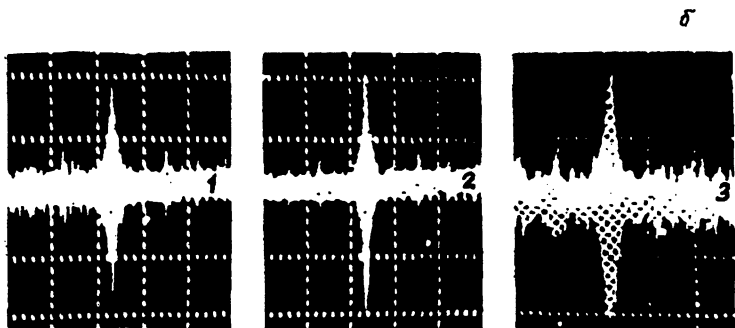
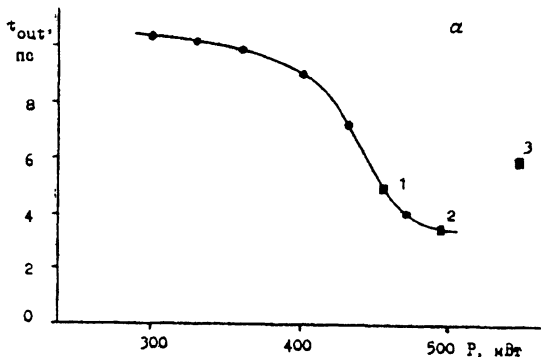


Рис. 2. Нелинейный режим распространения сверхкоротких оптических импульсов по одномодовому волоконному световоду: а — экспериментальная зависимость длительности импульса  $t_{out}$  на выходе световода длиной 5.1 км от начальной мощности импульса  $P$  при постоянном значении  $\tau_0 = 1.8$  пс; б — последовательность осциллограмм автокорреляционных функций в точках, отмеченных ■.

существенное влияние на эволюцию импульсов, так что значение  $t_{out} = 5$  пс (точка 1 на рис. 2) соответствует солитону первого порядка в световоде с указанными параметрами. В точке 2 с  $P = 490$  мВт и  $t_{out} = 3.5$  пс наблюдается максимальное самосжатие солитона с  $N = 1$ . Расчетная величина длительности в этой точке, согласно (5), с учетом потерь в световоде составила 2.5 пс. При дальнейшем увеличении мощности  $P$  длительность импульсов  $t_{out}$  на выходе световода превышает 3.5 пс и, например, в точке 3 составляет 6 пс при  $P = 550$  мВт. Отмеченное увеличение длительности значительно больше, чем уровень возможных осцилляций, сопутствующих процессу формирования солитонов, и позволяет идентифицировать область между точками 2 и 3 как зону перехода к солитону второго порядка. Характер экспериментальных данных в зоне перехода границы обусловлен тем, что энергетические возможности полупроводникового источника [9], рассчитанного на формирование фундамен-

тальных солитонов, не позволили достичь более высокого уровня интенсивности излучения в световоде.

Таким образом, на основе анализа свойств солитонных решений кубического уравнения Шредингера выявлен скачкообразный характер изменения длительности и амплитуды солитонов различных порядков по мере их выформирования из импульса с *sech*-образной огибающей и монотонно меняющейся начальной амплитудой. Экспериментально зарегистрирована граница областей существования пикосекундных оптических солитонов с  $N = 1$  и  $N = 2$  в одномодовом кварцевом волоконном световоде.

### Список литературы

- [1] *Таттаджян Л.А., Фаддеев Л.Д.* Гамильтонов подход в теории солитонов. М.: Наука, 1986. 528 с.
- [2] *Азманов С.А., Выслоут В.А., Чиркин А.С.* Оптика фемтосекундных лазерных импульсов. М.: Наука, 1988. 312 с.
- [3] *Захаров В.Е., Манакое С.В., Новиков С.П., Питаевский Л.П.* Теория солитонов: Метод обратной задачи. М.: Наука, 1980.
- [4] *Satsuma J., Yadjima N.* // *Prog. Theor. Phys. Suppl.* 1974. V. 55. P. 284-306.
- [5] *Lamb G.L. (Jr.).* Elements of soliton theory. N.Y.: John Wiley & Sons, 1980.
- [6] *Iwatsuki K., Nishi S., Nakagawa K.* // *IEEE Phot. Technol. Lett.* 1990. V. 2. N 5. P. 355-357.
- [7] *Iwatsuki K., Susuki K., Nishi S., Saruwatari M., Nakagawa K.* // *IEEE Phot. Technol. Lett.* 1990. V. 2. N 12. P. 905-907.
- [8] *Wai P.K.A., Meyuk C.R., Lee Y.C., Chen H.H.* // *Opt. Lett.* 1986. V. 11. N 7. P. 464-466.
- [9] *Князев И.А., Шербаков А.С., Ильин Ю.В., Рассудов Н.Л., Тарасов И.С.* // *Письма в ЖТФ.* 1991. Т. 17. В. 3. С. 14-17.
- [10] *Шербаков А.С.* // *Письма в ЖТФ.* 1993. Т. 19. В. 19. С. 34-38.
- [11] *Kubota H., Nakazawa M.* // *IEEE J. Quantum Electron.* 1990. V. 26. N 4. P. 692-700.
- [12] *Shcherbakov A.S., Andreeva E.I.* // *Proc. SPIE.* 1993. V. 2097. P. 289-300.

Санкт-Петербургский государственный  
технический университет

Поступило в Редакцию  
17 апреля 1996 г.